

(27) $\text{CaO}-\text{Fe}_2\text{O}_3$ 系化合物の還元とそれに伴なう膨張

秋田大学鉱山学部 工博 田坂 興 ○ 田口 昇
大友 崇穂

1. 緒言 塩基性塊成鉱(焼結鉱およびペレット)の還元初期における粉化に関する、単体の酸化鉄の還元における中間生成相の平衡関係や膨張についてはおおむね明らかにされている。しかし $\text{Ca}-\text{Fe}$ ライト化合物についてはまだ不明な点が多い。本研究では $2\text{CaO}\cdot\text{Fe}_2\text{O}_3$, $\text{CaO}\cdot\text{Fe}_2\text{O}_3$ および $\text{CaO}\cdot 2\text{Fe}_2\text{O}_3$ の還元初期における中間相の生成と平衡論的に、またそれに伴なう膨張について調べた。

2. 実験方法 試薬の CaO と Fe_2O_3 と $2\text{CaO}\cdot\text{Fe}_2\text{O}_3$, $\text{CaO}\cdot\text{Fe}_2\text{O}_3$ および $\text{CaO}\cdot 2\text{Fe}_2\text{O}_3$ となるように化学量論的に配合し、還元用試料は 9% \times 5%、膨張用試料は 9% \times 15% のブリケットに金型で成形(成形圧 1t)した。それを 1100°C で 24 時間空気中で焼成した。還元試験には石英スプリング熱天秤を、膨張試験には差動トランス方式膨張計を用いた。還元ガスは $\text{CO}-\text{CO}_2$ 混合ガスとした。還元および膨張試験後の試料中の生成相の同定は化学分析と X 線回折を主体として XMA でも行なった。

3. 実験結果 代表例として 900°C での $\text{CaO}\cdot\text{Fe}_2\text{O}_3$ の還元曲線を Fig.1 に示す。得られた還元後の試料を化学分析して求めた O/Fe とその時のガス組成の $\text{CO}_2\%$ との関係を図示したのが Fig.2 である。同図における Fe_2O_3 の場合は $\text{Fe}-\text{O}-\text{C}$ 還元平衡から計算で求めた。図から $\text{CaO}\cdot\text{Fe}_2\text{O}_3$ と $\text{CaO}\cdot 2\text{Fe}_2\text{O}_3$ は Fe_2O_3 に比べて複雑な曲線形態を示し、中間生成相が多様であることがわかる。 $2\text{CaO}\cdot\text{Fe}_2\text{O}_3$ はガス中の CO が 80% 以上になつてはじめて還元されることを示す。Fig.3 は $\text{Fe}-\text{Fe}_2\text{O}_3-\text{CaO}$ 図への分析値のプロットを示す。

各プロットは還元の進行に伴って矢印の方向に移り、たとえば $\text{CaO}\cdot\text{Fe}_2\text{O}_3$ の場合 CO が 10~40% で分析値が C_2F と d と結ぶ線上に、また CO が 50~60% では C_2F と e を結ぶ線上に位置する結果を示す。X 線回折の結果それらはそれが C_2F と d, C_2F と e に相当する生成相が確認された。

また C_2F , d, e を頂点とする三角形内に位置しているたとえば $\text{CaO}\cdot 2\text{Fe}_2\text{O}_3$ の $\text{CO} 50\%$ の場合は C_2F , d, e に相当する生成相が確認され、分析値のプロット位置で中間生成相が推定できる。Fig.4 に $\text{CaO}\cdot\text{Fe}_2\text{O}_3$ の膨張曲線を示す。

図からガス中の $\text{CO}_2\%$ が高いほど膨張が起り易い。また最大膨張量はおよそ 1.0 % であり、最大膨張量を示す還元率はおよそ 8% を示す。この還元率は $\text{CaO}\cdot\text{Fe}_2\text{O}_3$ が還元されて、中間相として $2\text{CaO}\cdot\text{Fe}_2\text{O}_3$ と $\text{CaO}\cdot\text{Fe}_2\text{O}_3$ が生成する還元率 8.33% と一致する。なお 900°C 以下の低温の結果は講演時に述べる。

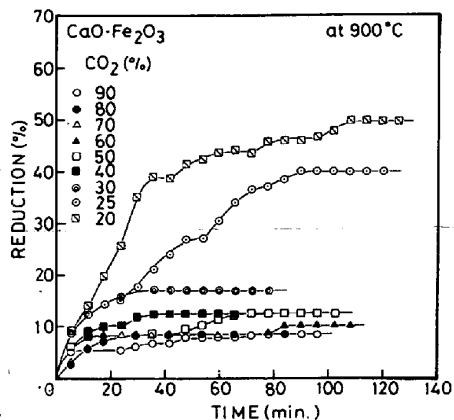


Fig. 1. The reduction curve of $\text{CaO}\cdot\text{Fe}_2\text{O}_3$ by $\text{CO}-\text{CO}_2$ mixed gas at 900°C.

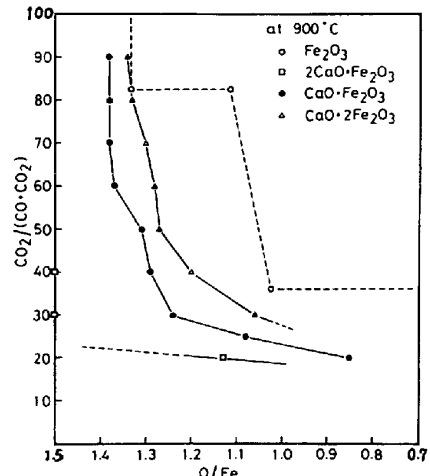
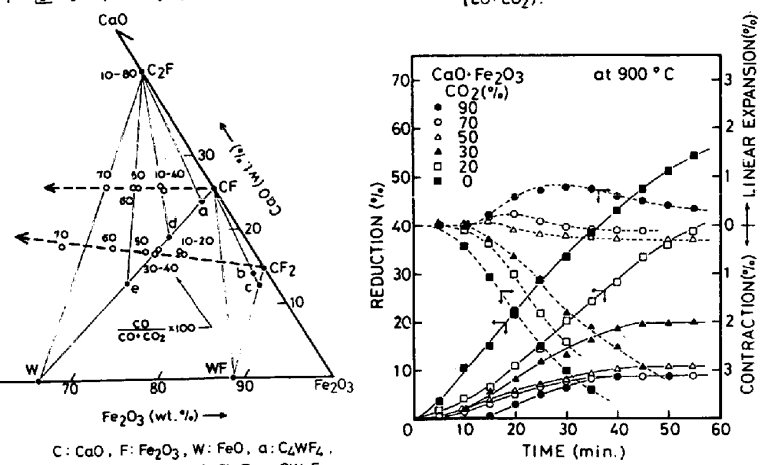


Fig. 2. Relation between O/Fe and $\text{CO}_2/(\text{CO}+\text{CO}_2)$.



C: CaO , F: Fe_2O_3 , W: FeO , a: C_4WF_4 , b: C_4WF_8 , c: C_3WF_7 , d: CWF , e: CW_3F

Fig. 3. $\text{Fe}-\text{Fe}_2\text{O}_3-\text{CaO}$ plots. (900°C)

Fig. 4. Reduction curve and expansion accompanying the reduction of $\text{CaO}\cdot\text{Fe}_2\text{O}_3$.